

Zahlentheorie und Zahlenspiele

Hartmut Menzer, Ingo Althöfer ISBN: 978-3-486-72030-3

© 2014 Oldenbourg Wissenschaftsverlag GmbH

Abbildungsübersicht / List of Figures Tabellenübersicht / List of Tables

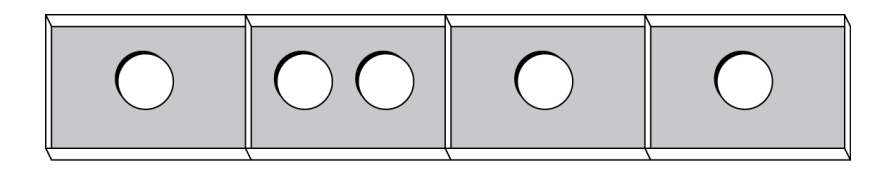


Abbildung 1.1: n = 5 Objekte in m = 4 Kategorien verteilt



Abbildung 1.2: Anordnung ganzer Zahlen auf einer Geraden

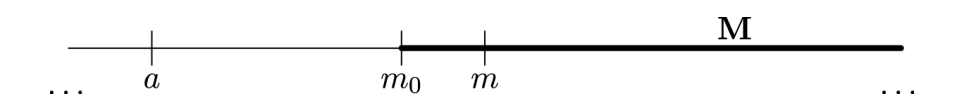


Abbildung 1.3: Darstellung der kleinsten Zahl m_0 einer nach unten beschränkten Menge M

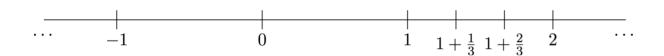


Abbildung 1.4: Anordnung von einigen Brüchen auf einer Geraden

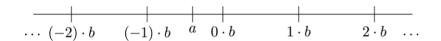


Abbildung 1.5: Multiplikation von einigen ganzen Zahlen auf einer Geraden

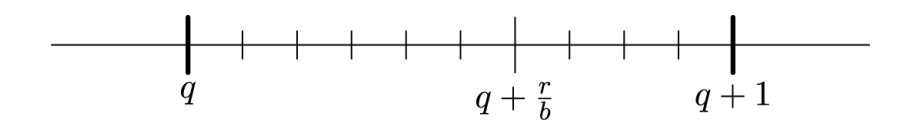


Abbildung 1.6: Anordnung von einigen Brüchen auf einer Geraden

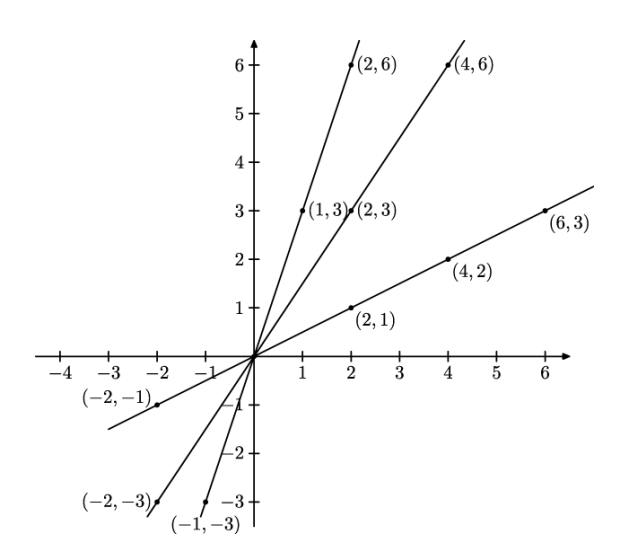


Abbildung 1.7: Anordnung von einigen Brüchen als Zahlenpaare

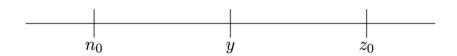


Abbildung 1.8: Prinzip der ordnungstheoretischen Induktion

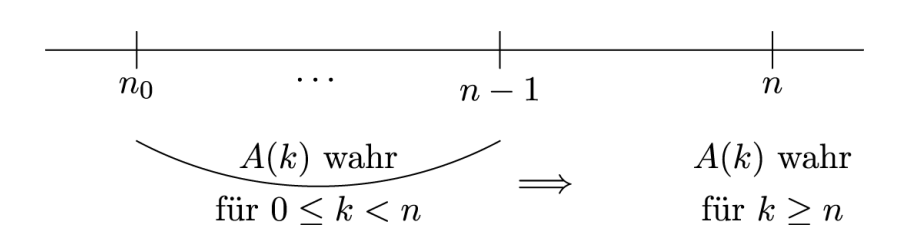


Abbildung 1.9: Methode der ordnungstheoretischen Induktion mit $n_0 = 0$

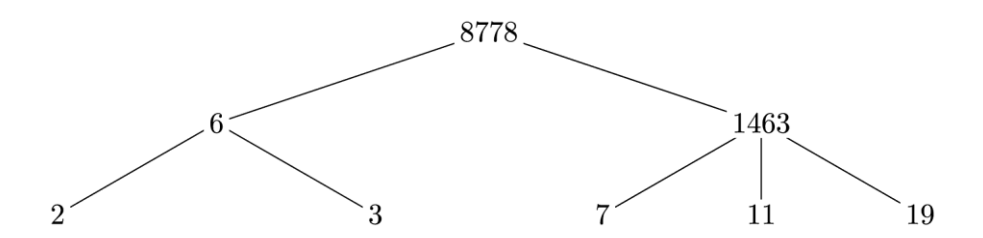


Abbildung 2.1: Primfaktorzerlegung der Zahl 8778

GE G

+	$\overline{0}$	$\overline{1}$	$\overline{2}$	 $\overline{m-1}$
$\overline{0}$	$\overline{0}$	$\overline{1}$	$\overline{2}$	 $\overline{m-1}$
$\overline{1}$	$\overline{1}$	$\overline{2}$	$\overline{3}$	 $\overline{0}$
$\overline{2}$	$\overline{2}$	$\overline{3}$	$\overline{4}$	 $\overline{1}$
$\frac{\vdots}{m-1}$	$\frac{\vdots}{m-1}$	$\frac{\vdots}{0}$	$\frac{\vdots}{1}$	 $\frac{\vdots}{m-2}$

DE

+	$\overline{0}$	$\overline{1}$	$\overline{2}$	$\overline{3}$	$\overline{4}$	$\overline{5}$
$\overline{0}$	$\overline{0}$	$\overline{1}$	$\frac{\overline{2}}{\overline{3}}$	$\overline{3}$	$\overline{4}$	$\overline{5}$
$\overline{1}$	$\overline{1}$	$\overline{2}$	$\overline{3}$	$\overline{4}$	$\overline{5}$	$\overline{0}$
$\overline{2}$	$\overline{2}$	$\frac{\overline{2}}{\overline{3}}$	$\overline{4}$	$\overline{5}$	$\overline{0}$	$\overline{1}$
$\overline{3}$	$\begin{array}{c} \overline{1} \\ \overline{2} \\ \overline{3} \\ \overline{4} \end{array}$	$\overline{4}$	$\overline{5}$	$\overline{0}$	$rac{\overline{1}}{\overline{2}}$	$\overline{2}$
$\overline{4}$		$\overline{5}$	$\overline{0}$	$\overline{1}$	$\overline{2}$	$ \begin{array}{c} \overline{5} \\ \overline{0} \\ \overline{1} \\ \overline{2} \\ \overline{3} \\ \overline{4} \end{array} $
$\overline{5}$	$\overline{5}$	$\overline{0}$	$\overline{1}$	$\overline{2}$	$\overline{3}$	$\overline{4}$
		$\frac{\overline{5}}{\overline{0}}$	$\frac{\overline{0}}{\overline{1}}$	$\frac{\overline{1}}{\overline{2}}$	$\frac{\overline{2}}{3}$	- - -

	1	$\overline{2}$	$\overline{3}$	$\overline{4}$	$\overline{5}$
$\overline{1}$	$\overline{1}$	$\overline{2}$	$\overline{3}$	$\overline{4}$	$\overline{5}$
$\overline{2}$	$\overline{2}$	$\overline{4}$	$\overline{0}$	$ \begin{array}{c} \overline{4} \\ \overline{2} \\ \overline{0} \\ \overline{4} \end{array} $	$\overline{4}$
$\overline{3}$	$\overline{3}$	$\overline{0}$	$\overline{3}$	$\overline{0}$	$\overline{3}$
$ \frac{1}{2} $ $ \frac{3}{4} $ $ \frac{5}{5} $	$ \frac{1}{2} \overline{3} \overline{4} \overline{5} $	$ \begin{array}{c} \overline{2} \\ \overline{4} \\ \overline{0} \\ \overline{2} \\ \overline{4} \end{array} $	$\begin{array}{c} \overline{3} \\ \overline{0} \\ \overline{3} \\ \overline{0} \\ \overline{3} \end{array}$	$\overline{4}$	
$\overline{5}$	$\overline{5}$	$\overline{4}$	$\overline{3}$	$\overline{2}$	$\overline{1}$

G G

+	$\overline{0}$	$\overline{1}$	$\overline{2}$	$\overline{3}$	$ \begin{array}{c} \overline{4} \\ \overline{5} \\ \overline{6} \\ \overline{0} \\ \overline{1} \\ \overline{2} \end{array} $	$\overline{5}$	$\frac{\overline{6}}{6}$
$\overline{0}$	$\overline{0}$	$\overline{1}$	$\overline{2}$	$\overline{3}$	$\overline{4}$	$\overline{5}$	$\overline{6}$
$\overline{1}$	$\overline{1}$	$\overline{2}$	$\overline{3}$	$\overline{4}$	$\overline{5}$	$\overline{6}$	$\overline{0}$
	$\begin{array}{c c} \overline{0} \\ \overline{1} \\ \overline{2} \\ \overline{3} \\ \overline{4} \\ \overline{5} \\ \overline{6} \end{array}$	$\overline{3}$	$\overline{4}$	$\overline{5}$	$\overline{6}$	$\overline{0}$	$\overline{1}$
$\overline{3}$	$\overline{3}$	$\overline{4}$	$\overline{5}$	$\overline{6}$	$\overline{0}$	$\overline{1}$	$\overline{2}$
$\overline{4}$	$\overline{4}$	$\overline{5}$	$\overline{6}$	$\frac{\overline{0}}{\overline{1}}$	$\overline{1}$	$\overline{2}$	$\overline{3}$
$\overline{5}$	$\overline{5}$	$\overline{6}$	$\overline{0}$	$\overline{1}$	$\overline{2}$	$\overline{3}$	$\overline{4}$
$\overline{6}$	$\overline{6}$	$\overline{0}$	$\overline{1}$	$\overline{2}$	$\frac{2}{3}$	$\overline{4}$	$\frac{1}{5}$

	$ \begin{array}{c c} \hline 1\\ \hline \hline 2\\ \hline 3\\ \hline 4\\ \hline 5\\ \hline 6 \end{array} $	$\begin{array}{c} \overline{2} \\ \overline{4} \\ \overline{6} \\ \overline{1} \\ \overline{3} \\ \overline{5} \end{array}$	$\overline{3}$	$\begin{array}{c} \overline{4} \\ \overline{4} \\ \overline{1} \\ \overline{5} \\ \overline{6} \\ \overline{3} \end{array}$	$\overline{5}$	$ \begin{array}{r} \overline{6} \\ \overline{5} \\ \overline{4} \\ \overline{3} \\ \overline{2} \\ \overline{1} \end{array} $
1	$\overline{1}$	$\overline{2}$	3	$\overline{4}$	$\overline{5}$	$\overline{6}$
$\overline{2}$	$\overline{2}$	$\overline{4}$	$\overline{6}$	$\overline{1}$	$\overline{3}$	$\overline{5}$
$\overline{3}$	$\overline{3}$	$\overline{6}$	$\overline{2}$	$\overline{5}$	$\overline{1}$	$\overline{4}$
$\overline{4}$	$\overline{4}$	$\overline{1}$	$\overline{5}$	$\overline{2}$	$\overline{6}$	$\overline{3}$
$ \frac{1}{2} $ $ \frac{3}{4} $ $ \frac{5}{6} $	$\overline{5}$	$\overline{3}$	$\overline{1}$	$\overline{6}$	$\overline{4}$	$\overline{2}$
$\overline{6}$	$\overline{6}$	$\overline{5}$	$\overline{4}$	$\overline{3}$	$\overline{2}$	$\overline{1}$

DE

Im Folgenden soll eine Übersicht über den Status der ersten 20 Fermatschen Zahlen gegeben werden (P=Primzahl, Z=zusammengesetzte Zahl, U=Status unbekannt).

```
F_0 = 3 = P
F_1 = 5 = P
F_2 = 17 = P
F_3 = 257 = P
 F_4 = 65537 = P
 F_5 = 641 \cdot 6700417
 F_6 = 274177 \cdot 67280421310721
 F_7 = 59649589127497217 \cdot 5704689200685129054721
 F_8 = 1238926361552897 \cdot P
 F_9 = 2424833
      7455602825647884208337395736200454918783366342657 \cdot P
F_{10} = 45592577 \cdot 6487031809
      4659775785220018543264560743076778192897 \cdot P
F_{11} = 319489 \cdot 974849
      167988556341760475137 \cdot 3560841906445833920513 \cdot P
F_{12} = 114689
      26017793 \cdot 63766529 \cdot 190274191361 \cdot 1256132134125569 \cdot Z
F_{13} = 2710954639361 \cdot 2663848877152141313
      3603109844542291969 \cdot 319546020820551643220672513 \cdot Z
F_{14} = Z
F_{15} = 12142510009 \cdot 2327042503868417
      168768817029516972383024127016961 \cdot Z
F_{16} = 825753601 \cdot 188981757975021318420037633 \cdot Z
F_{17} = 31065037602817 \cdot Z
F_{18} = 13631489 \cdot 81274690703860512587777 \cdot Z
F_{19} = 70525124609 \cdot 646730219521 \cdot Z
```

$M_2 = 2^2 - 1$	$M_{1279} = 2^{1279} - 1$	$M_{86243} = 2^{86243} - 1$
$M_3 = 2^3 - 1$	$M_{2203} = 2^{2203} - 1$	$M_{110503} = 2^{110503} - 1$
$M_5 = 2^5 - 1$	$M_{2281} = 2^{2281} - 1$	$M_{132049} = 2^{132049} - 1$
$M_7 = 2^7 - 1$	$M_{3217} = 2^{3217} - 1$	$M_{216091} = 2^{216091} - 1$
$M_{13} = 2^{13} - 1$	$M_{4253} = 2^{4253} - 1$	$M_{756839} = 2^{756839} - 1$
$M_{17} = 2^{17} - 1$	$M_{4423} = 2^{4423} - 1$	$M_{859433} = 2^{859433} - 1$
$M_{19} = 2^{19} - 1$	$M_{9869} = 2^{9869} - 1$	$M_{1257787} = 2^{1257787} - 1$
$M_{31} = 2^{31} - 1$	$M_{9941} = 2^{9941} - 1$	$M_{1398269} = 2^{1398269} - 1$
$M_{61} = 2^{61} - 1$	$M_{11213} = 2^{11213} - 1$	$M_{2976221} = 2^{2976221} - 1$
$M_{89} = 2^{89} - 1$	$M_{19937} = 2^{19937} - 1$	$M_{3021377} = 2^{3021377} - 1$
$M_{107} = 2^{107} - 1$	$M_{21701} = 2^{21701} - 1$	$M_{6972593} = 2^{6972593} - 1$
$M_{127} = 2^{127} - 1$	$M_{23209} = 2^{23209} - 1$	$M_{13466917} = 2^{13466917} - 1$
$M_{521} = 2^{521} - 1$	$M_{44497} = 2^{44497} - 1$	$M_{20996011} = 2^{20996011} - 1$
$M_{607} = 2^{607} - 1$		

Im Folgenden soll eine Übersicht über einige bekannte **mersennesche Primzahlen** gegeben werden.

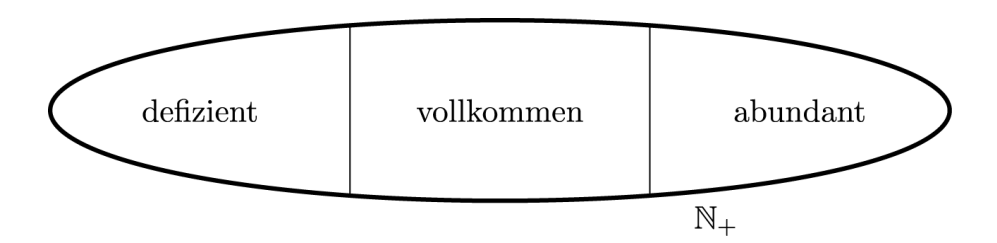


Abbildung 2.2: Zerlegung von \mathbb{N}_+ in drei Äquivalenzklassen

DE —

$\operatorname{Ind}\epsilon$	ex Vollkommene Zahl	Stellenzahl	Jahr der Entdeckung
1	6	1	_
2	28	2	_
3	496	3	_
4	8128	4	_
5	33550336	8	1461
6	8589869056	10	1603
7	$2^{18} \cdot (2^{19} - 1)$	12	1603
8	$2^{30} \cdot (2^{31} - 1)$	19	1753
9	$2^{60} \cdot (2^{61} - 1)$	37	1883
10	$2^{88} \cdot (2^{89} - 1)$	54	1911
11	$2^{106} \cdot (2^{107} - 1)$	65	1914
12	$2^{126} \cdot (2^{127} - 1)$	77	1876
13	$2^{520} \cdot (2^{521} - 1)$	314	1952
14	$2^{606} \cdot (2^{607} - 1)$	366	1952
:	,		
9.4	$2^{1257786} \cdot (2^{1257787} - 1)$	757069	1006
34	$2^{1398268} \cdot (2^{1398269} - 1)$	757263	1996
35	_ (841842	1996
36	$2^{2976220} \cdot (2^{2976220} - 1)$	895932	1997
37	$2^{3021376} \cdot (2^{3021376} - 1)$	1819050	1998
:			
48	$2^{57885160} \cdot (2^{57885161} - 1)$		2013
10	- (- 1)		2010

Abschließend soll noch eine Übersicht über einige bekannte geraden vollkommenen Zahlen und deren Entdeckungsjahr gegeben werden.

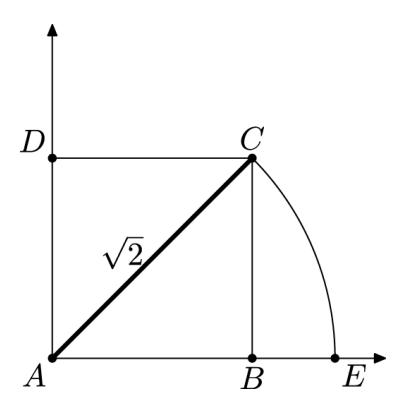


Abbildung 3.1: Darstellung der Zahl $\sqrt{2}$

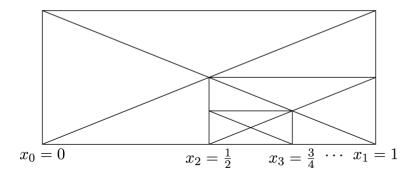


Abbildung 3.2: Halbierungsmethode eines Intervalls

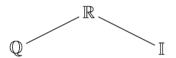


Abbildung 3.3: Zerlegung von $\mathbb R$ in rationale und irrationale Zahlen

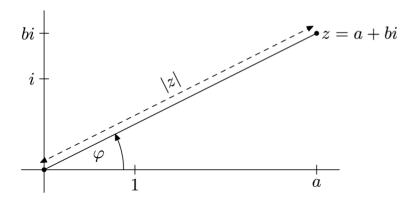


Abbildung 3.4: Komplexe Zahlenebene

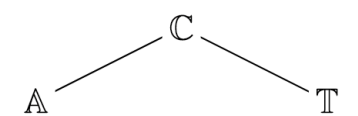


Abbildung 3.5: Zerlegung von $\mathbb C$ in algebraische und transzendente Zahlen

		_
77	\rightarrow	\bigcirc
\mathbb{Z}		



 $\overline{\mathbb{Z}} \quad o \quad \overline{\mathbb{Q}}$

Abbildung 3.6: Einbettung von Zahlenmengen

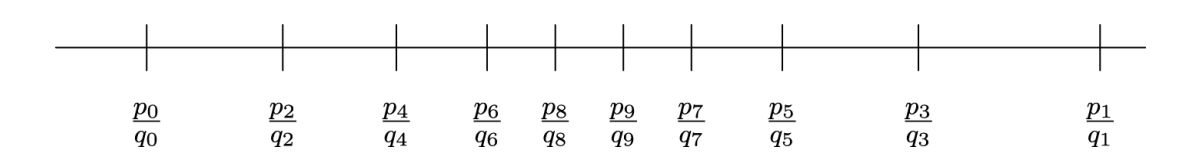


Abbildung 3.7: Darstellung von einigen Näherungsbrüchen $\frac{p_k}{q_k}$

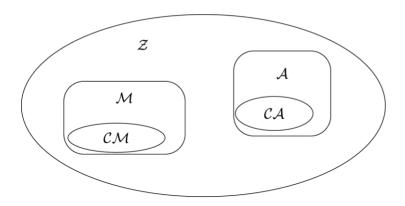


Abbildung 4.1: Multiplikative und additive zahlentheoretische Funktionen

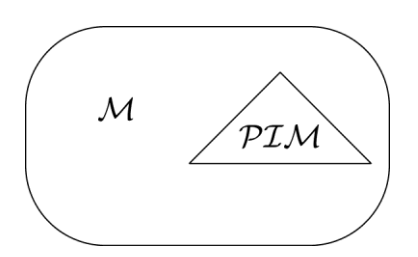


Abbildung 4.2: Primzahlunabhängige zahlentheoretische Funktionen

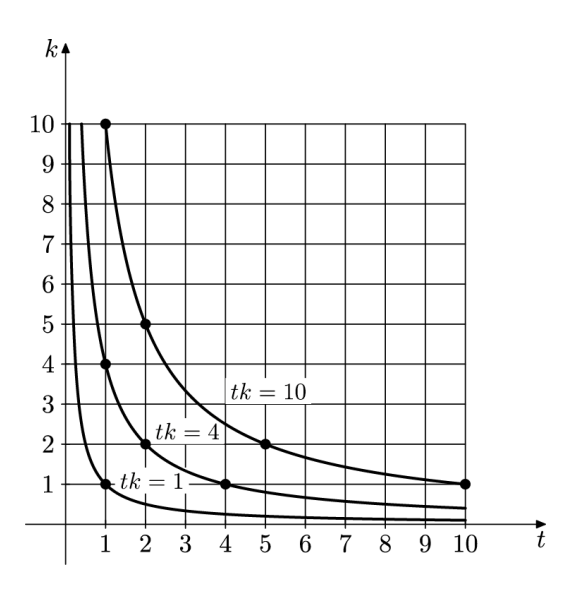


Abbildung 4.3: Gitterpunkte auf den Hyperbelästen $t \cdot k = n$ für n = 1, 4, 10

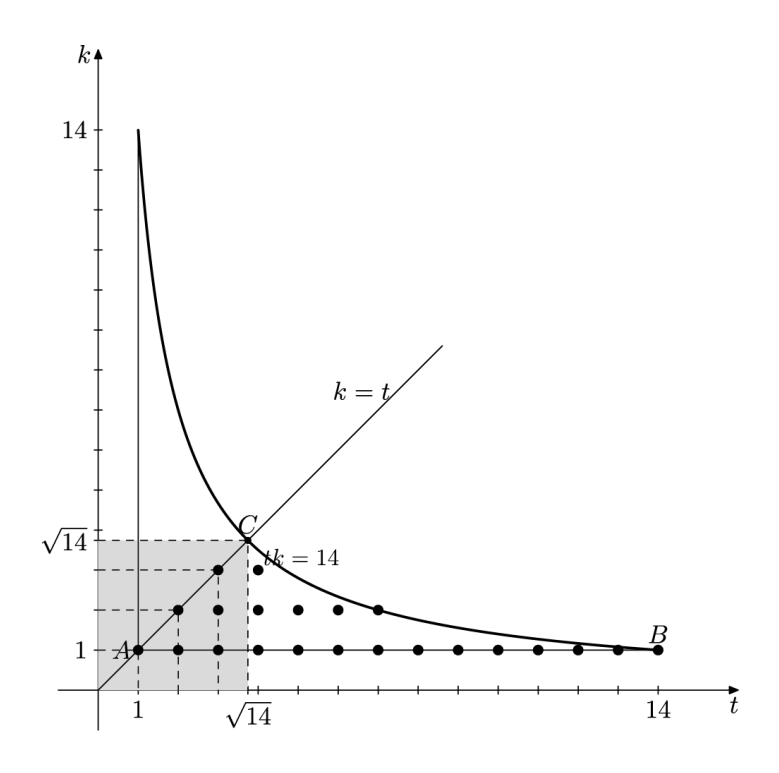


Abbildung 4.4: Gitterpunkte im Gebiet (A, B, C)

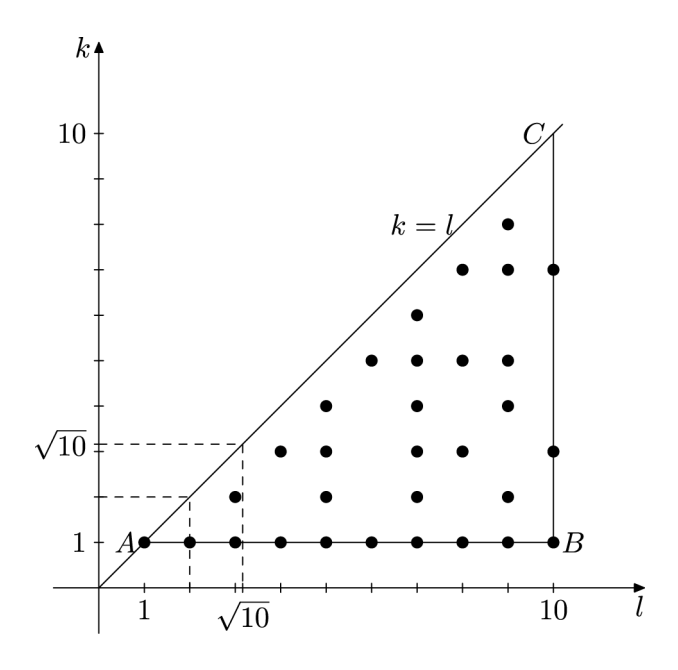


Abbildung 4.5: Primitive Gitterpunkte im Dreieck (A, B, C)

a	1	2	3	4	5	6	7	8	9	10	11	12	13	14	15	16
$\overline{\operatorname{ind}_3 a}$	0	14	1	12	5	15	11	10	2	3	7	13	4	9	6	8

Tabelle 5.1: Indextafel für den Modul m = 17.

$\operatorname{ind}_3 a$	0	1	2	3	4	5	6	7	8	9	10	11	12	13	14	15
\overline{a}	1	3	9	10	13	5	15	11	16	14	8	7	4	12	2	6

Tabelle 5.2: Indextafel für den Modul m = 17.

Abbildung 6.1: G- und V-Stellungen beim (1, 2, 4)-Spiel

Restzahl	1	2	3	4	5	6	7	8	9	10	11	12	13	14	
Zustand	G	G*	G	G	V	G	\overline{V}	\mathbb{G}	G	G	G	V	G	\overline{V}	

Abbildung 6.2: G- und V-Stellungen beim (1, 3, 4)-Spiel

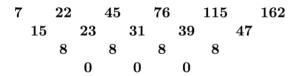


Abbildung 6.3: Differenzen-Schema zu den ersten sechs Periodenlängen bei der (*n*, 2*n*+1, 3*n*+1)-Familie. Die *p*-Werte stehen in der ersten Zeile.

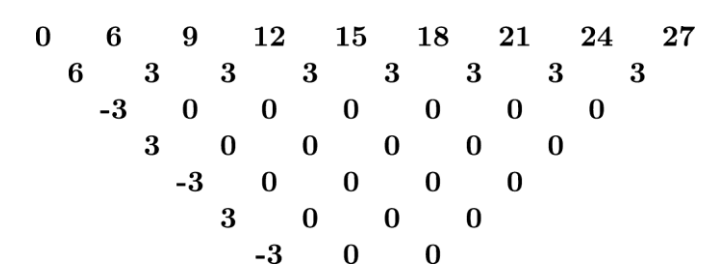


Abbildung 6.4: Differenzen-Schema zu den Vorperiodenlängen bei der (n, 2n, 3n + 1)-Familie. Die q-Werte stehen in Zeile 1.

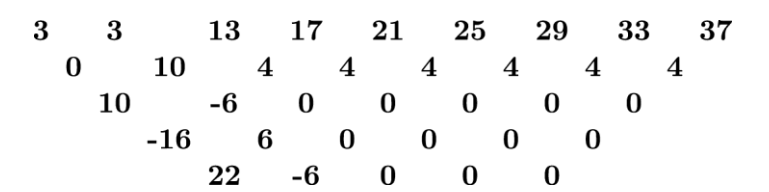


Abbildung 6.5: Differenzen-Schema zu den Periodenlängen bei der (n, 2n, 3n + 1)-Familie

118		675		2008		4453		8346		14023
	557		1333		2445		3893		5677	
		776		1112		1448		$\boldsymbol{1784}$		
			336		336		336			

Abbildung 6.6: Differenzen-Schema zu den ersten sechs Periodenlängen der Bültermann-Familie

Haufengröße	1	2	3	4	5	6	7	8	
Alice Bob	A	A	В	A	A	В	A	A	
Bob	В	В	Α	В	В	A	В	В	

Abbildung 6.7: "A-B", Alice und Bob ziehen abwechselnd

GE G

Haufengröße													
Alice1	A	A	A	A	В	В	A	A	A	A	В	В	
Alice2	A	A	В	В	В	A	A	A	В	В	В	A	
Bob1	В	В	В	В	A	A	В	В	В	В	A	A	
Bob2	В	В	A	A	A	В	В	В	A	A	A	В	

Abbildung 6.8: Zur symmetrischen Zugreihenfolge "A-A-B-B"

Haufengröße	1	2	3	4	5	6	7	8	9	10	11	12	13	14	15	16	17	18	19	20	21
Alice1	A	A	Α	A	Α	Α	Α	В	В	A	A	A	A	A	A	A	В	В	A	A	A
Alice2	A	A	В	A	A	В	В	В	A	A	A	A	Α	A	В	В	В	A	A	A	A
Bob1	В	В	Α	В	В	В	В	A	A	A	A	A	В	В	В	В	A	A	A	A	A
Alice3	A	A	В	В	В	A	A	A	A	A	A	В	В	В	A	A	A	A	A	A	В
Bob2	В	В	В	В	A	A	A	A	A	В	В	В	В	A	A	A	A	A	В	В	В
Bob3	В	В	\mathbf{A}	A	A	A	A	A	В	В	В	Α	JA	A	A	A	A	В	В	В	A
Alice 1	Α	Α	Α	Α	Α	Α	Α	В	В	Α	Α	Α	Α	Α	Α	Α	В	В	Α	Α	Α

Abbildung 6.9: Zur Zugreihenfolge "A-A-B-A-B-B"

GE G

Haufengröße	1	2	3	4	5	 Haufengröße	1	2	3	4	5	
Alice1						Alice1	A	A	В	A	A	
Alice2	A	A	В	Α	A	 Bob	В	В	Α	Α	Α	
Bob	В	В	A	A	Α	 Alice2	A	A	A	A	Α	

Abbildung 6.10: Zu den Zugreihenfolgen "A-A-B" und "A-B-A"

Haufengröße	1	2	3	4	5	
Alice1	A	A	A	A	A	
Alice2	A	A	A	A	A	
Alice3	A	A	В	A	A	
Bob2	В	В	A	A	A	

Abbildung 6.11: Zu der Zugreihenfolge "A-A-A-B"

Alice1	AAAAAAAAAAAAABBAAAAAAAAAAAAAAABAAAAAAAA
Alice2	AABAAAAAAAAAAAAAAAAAAAAAAAAAAAAAAAAAAAA
Bob1	BBAAAAAAAABBBBAAAAAAAAAAAAABBBAAAAAAAAA
Alice3	AAAAAAAAABBBAAAAAAAAAAAAABBAAAAAAAAAAAA
Alice4	AABAAAABBBBAAAAAAAAAAAAABBBAAAAAAAAAAAA
Bob2	BBAAABBBBBAAAAAAAAAAABBBBAAAAAAAAAAAABBBAAAA
Alice5	AAAABBBBAAAAAAAAAAAAABBBAAAAAAAAAAAAAABBAAAA
Alice6	AABBBBBAAAAAAAAAAABBBBAAAAAAAAAAAABBBAAAA
Bob3	BBBBBBAAAAAAAAABBBBBAAAAAAAAAAABBBBAAAAA
Bob4	BBBBAAAAAAAAAAABBBBAAAAAAAAAAAAABBBAAAAA
Bob5	BBAAAAAAAAAAAABBBAAAAAAAAAAAAABBAAAAAAA
Alice 1	AAAAAAAAAAAAAAAAAAAAAAAAAAAAAAAAAAAAAAA

Abbildung 6.12: Zur Zugreihenfolge "A-A-B-A-A-B-A-B-B-B"

Alice1	AAAAAAAAAA
Alice2	$AA\mathbf{B}AAAAAAAAAA$
Bob1	BB AAAAAAAA BBBB AAAAAAAAAAAAAAB BB AAAAAAAA
Alice3	AAAAAAAAAA
Alice4	AA B AAAA BBBB AAAAAAAAAAAAAB BB AAAAAAAA
Bob2	BB AAA BBBB AAAAAAAAAAAAB BBB AAAAAAAAA
Alice5	AAAA BBBB AAAAAAAAAAAA BBB AAAAAAAAAAAA
Alice6	AA BBBBB AAAAAAAAAAA BBBB AAAAAAAAAAA BBB AAAAAAAA
Bob3	BBBBB AAAAAAAAAAB BBBB AAAAAAAAAAB BBB AAAAAAAA
Bob4	BBB AAAAAAAAAAA BBBB AAAAAAAAAAAAB BB AAAAAAAA
Bob5	BB AAAAAAAAAAA BBB AAAAAAAAAAAAAB B AAAAAAAA

Abbildung 6.13: Hervorgehobene B-Siege bei "A-A-B-A-A-B-A-A-B-B-B"

Alice1	$\cdots\cdots\cdots AAAAA\cdots\cdots\cdots AAAAAA\cdots\cdots AAAAAAA\cdots\cdots AAAAAAA\cdots$
Alice2	$\cdots\cdots\cdots AAAA\cdots\cdots\cdotsAAAAA\cdots\cdots\cdotsAAAAAA\cdots\cdots$
Bob1	$\cdots\cdots \cdot AAA \cdot \cdots \cdot AAAA \cdot \cdots \cdot AAAA \cdot \cdots \cdot AAAAA \cdot \cdots \cdot AAAAA \cdot \cdots \cdot \cdots$
Alice3	$\cdots \cdot AAAA \cdot \cdots \cdot AAAAA \cdot \cdots \cdot AAAAA \cdot \cdots \cdot AAAAAA \cdot \cdots \cdot \cdots$
Alice4	$\cdots \cdot AAA \cdot \cdots \cdot AAAA \cdot \cdots \cdot AAAA \cdot \cdots \cdot AAAAA \cdot \cdots \cdot AAAAA \cdot \cdots \cdot \cdots$
Bob2	$\cdots AA \cdots \cdots AAA \cdots AAA \cdots AAA \cdots AAAA AAAA \cdots AAAA AAAA \cdots AAAA AAAA AAAA AAAA AAAA AAAA AAAA AAAA$
Alice5	$\cdot AAA \cdot AAAA \cdot \cdot \cdot \cdot $
Alice6	$AA \cdot AAA \cdot \cdot \cdot \cdot \cdot \cdot $
Bob3	$\cdots\cdots\cdots \land AA \cdot \cdots \cdot AAA \cdot \cdots \land AAA \cdot \cdots \land AAAA \cdot \cdots \land AAAA$
Bob4	$\cdots\cdots\cdots \land AAA\cdots\cdots \land AAAA\cdots \land AAAA\cdots \land AAAAA\cdots \land AAAAAA\cdots \land AAAAAAA\cdots \land AAAAAAA\cdots \land AAAAAAA\cdots \land AAAAAAA\cdots \land AAAAAAAA$
Bob5	$\cdots\cdots\cdots$ AAAA $\cdots\cdots\cdots$ AAAAA $\cdots\cdots$

Abbildung 6.14: Alice6-Siege zur Zugreihenfolge "A-A-B-A-A-B-A-A-B-B-B"

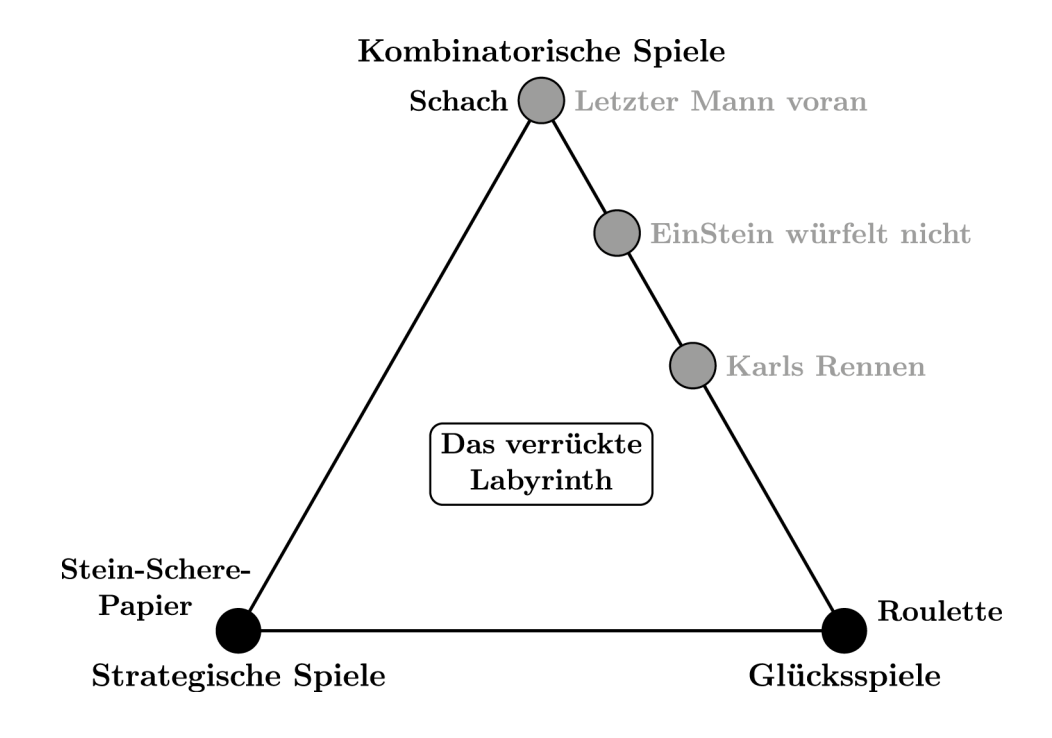


Abbildung 7.1: Die drei Spiele im Bewersdorff-Dreieck

	a	b	\mathbf{c}	d	\mathbf{e}	
5			S	S		5
4				S	S	4
3	W				S	3
2	W	W				2
1		W	W			1
		b	С.	d	е	•

Abbildung 7.2: Koordinaten und eine Startstellung zu "Letzter Mann voran"

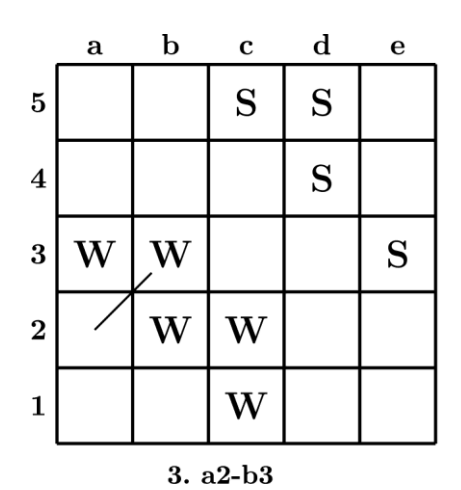
	a	b	\mathbf{c}	\mathbf{d}	\mathbf{e}
5			\mathbf{S}	\mathbf{S}	
4				\mathbf{S}	S
3	W				S
2	W	\mathbf{W}	\mathbf{w}		
1			W		
		1. 1	o1-c2		

	a	b	c	d	e
5			\mathbf{S}	S	
4				\mathbf{S}	
3	W				\mathbf{S}
2	W	W	\mathbf{W}		
1			W		

2. e4xe3

Abbildung 7.3

DE



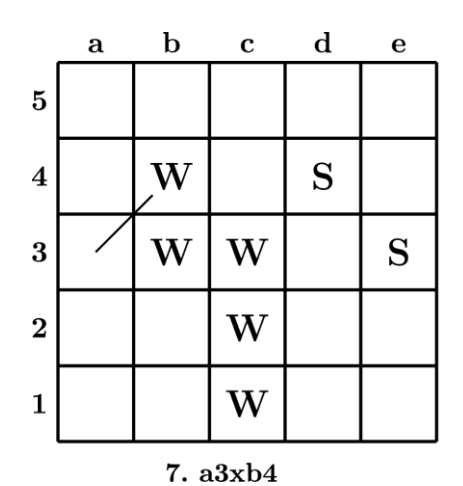
	a	b	c	d	e		
5			S-				
4				\mathbf{S}			
3	W	W			\mathbf{S}		
2		W	W				
1			\mathbf{W}				
4. d5xc5							

Abbildung 7.4

	a	b	\mathbf{c}	d	\mathbf{e}		
5			\mathbf{S}				
4				\mathbf{S}			
3	\mathbf{W}	W	\mathbf{w}		S		
2			W				
1			W				
5. b2-c3							

	a	b	\mathbf{c}	d	e		
5							
4		\mathbf{s}'		\mathbf{S}			
3	W	W	\mathbf{W}		\mathbf{S}		
2			\mathbf{W}				
1			W				
6. c5-b4							

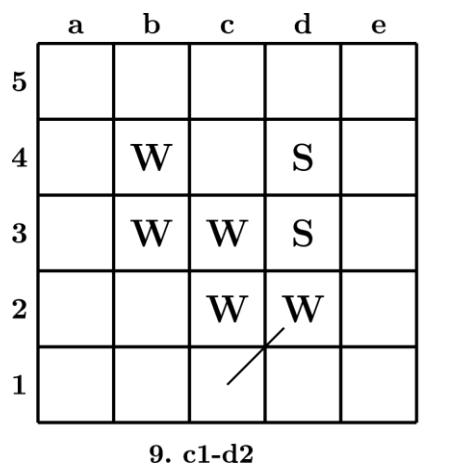
Abbildung 7.5



	a	b	c	d	e			
5								
4		\mathbf{W}		S				
3		\mathbf{W}	\mathbf{W}	S-	_			
2			\mathbf{W}					
1			W					
8. e3-d3								

Abbildung 7.6

 $\frac{\mathsf{DE}}{G}$



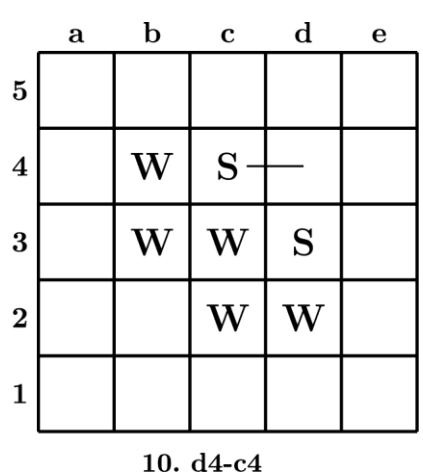


Abbildung 7.7

 $\overset{\text{de}}{G}$

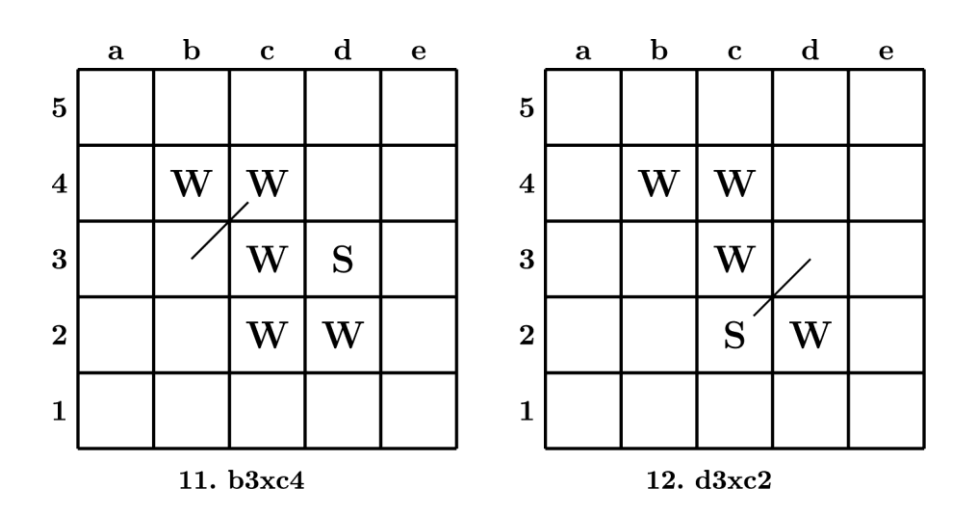


Abbildung 7.8

 $\frac{\mathsf{DE}}{G}$

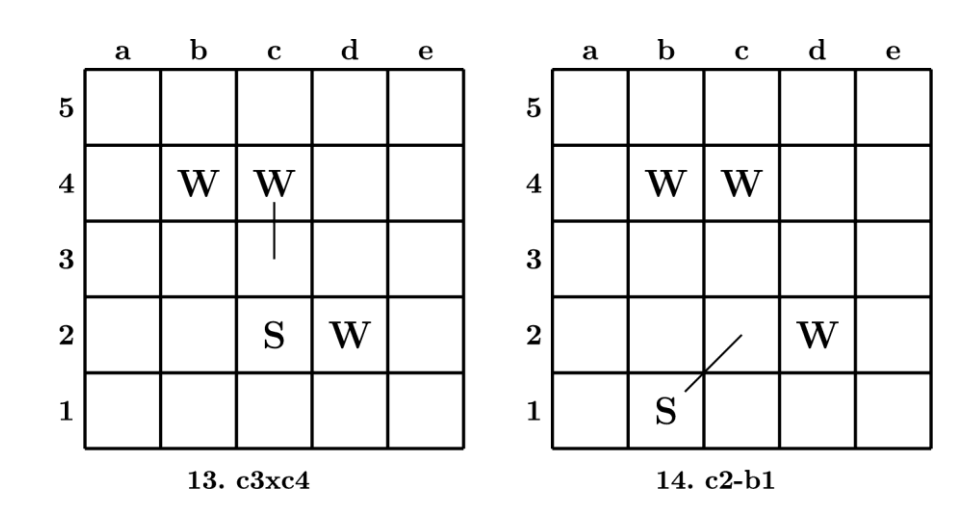


Abbildung 7.9

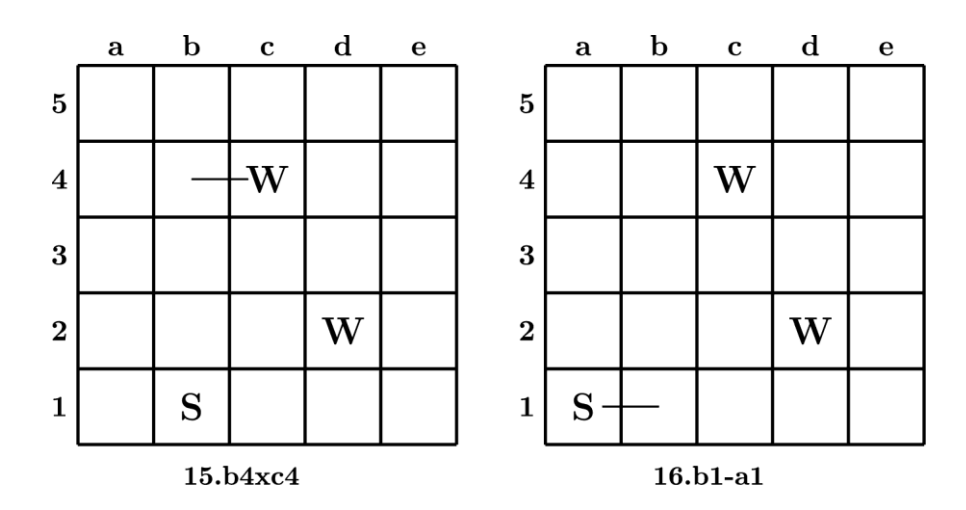


Abbildung 7.10

				S	S	S	
						S	S
							S
							S
\mathbf{W}							
\mathbf{W}							
\mathbf{W}	W						
	W	W	W				

Abbildung 7.11: "Letzter Mann voran" auf 8 × 8-Brett mit je 7 Figuren

	\mathbf{R}	\mathbf{R}	\mathbf{S}	\mathbf{S}	
R	R			S	S
R					S
\mathbf{W}					В
W	W			В	В
	W	\mathbf{W}	В	В	

Abbildung 7.12: Startstellung für die Vierer-Version von "Letzter Mann voran"

	a	b	\mathbf{c}	\mathbf{d}	\mathbf{e}		
5	1*	6	3			5	1
4	5	2				4	
3	4				2	3	
2				3	1	2	
1			4	6	5	1	
		b	С	d	e		

Abbildung 7.13: Die ausgeloste Anfangsstellung der Partie zwischen Theo van der Storm (Schwarz) und Ingo Althöfer (Weiß). Weiß beginnt.

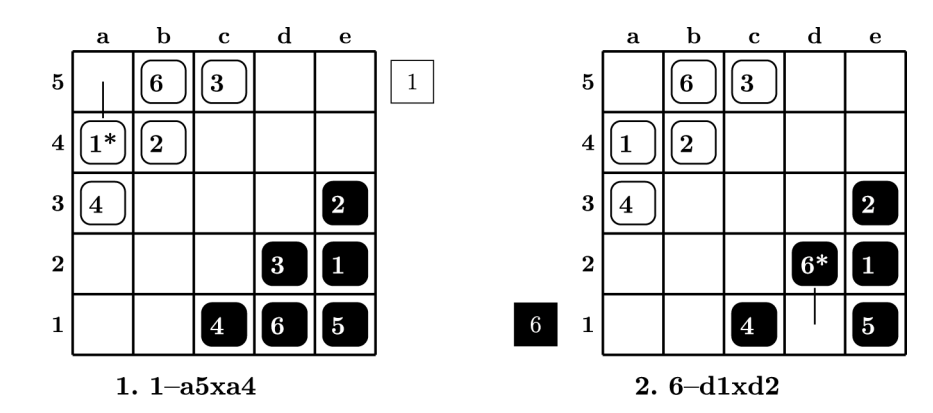


Abbildung 7.14

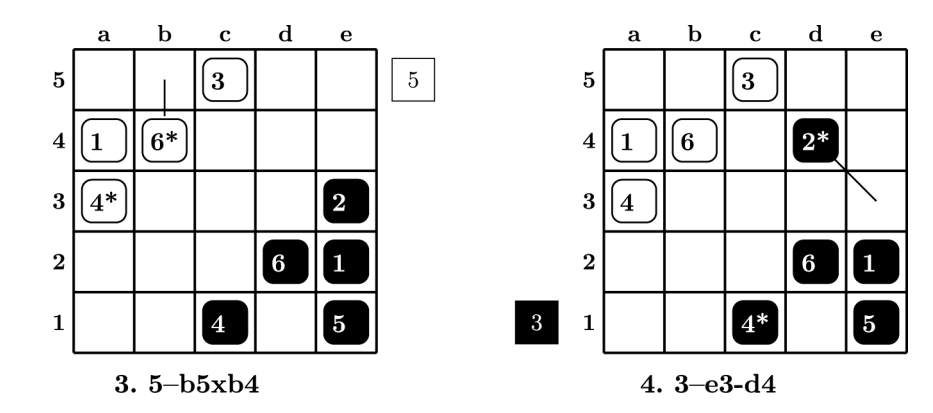


Abbildung 7.15

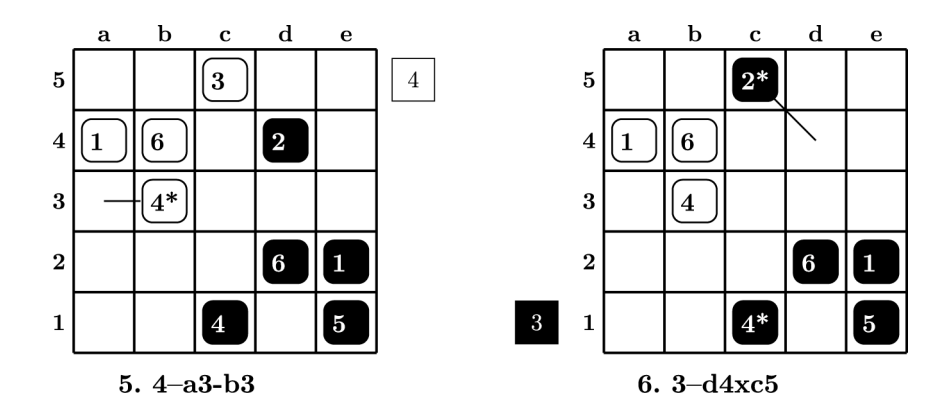


Abbildung 7.16

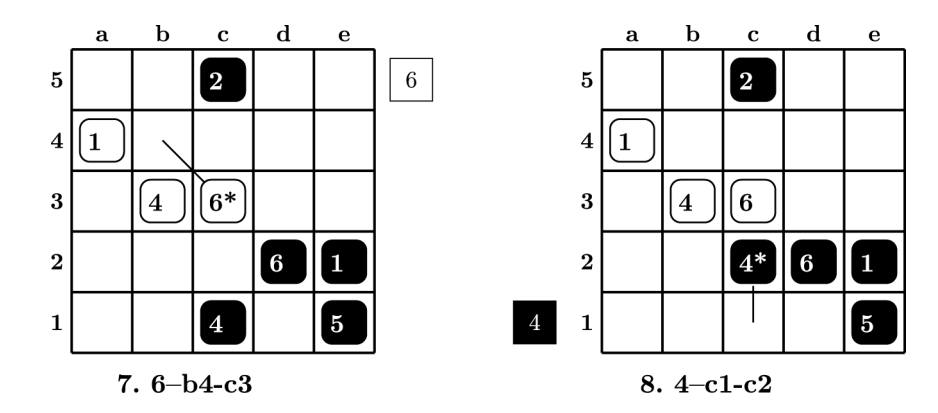
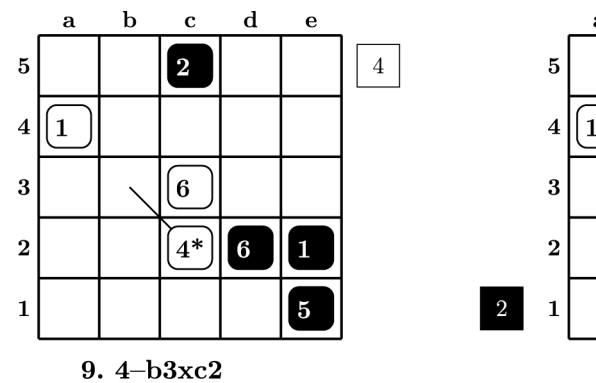


Abbildung 7.17



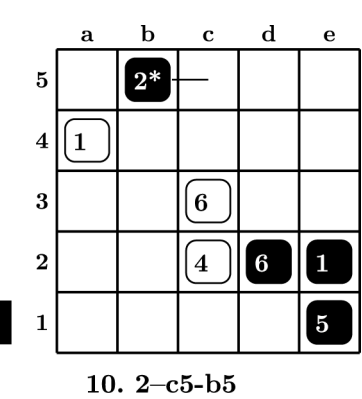


Abbildung 7.18

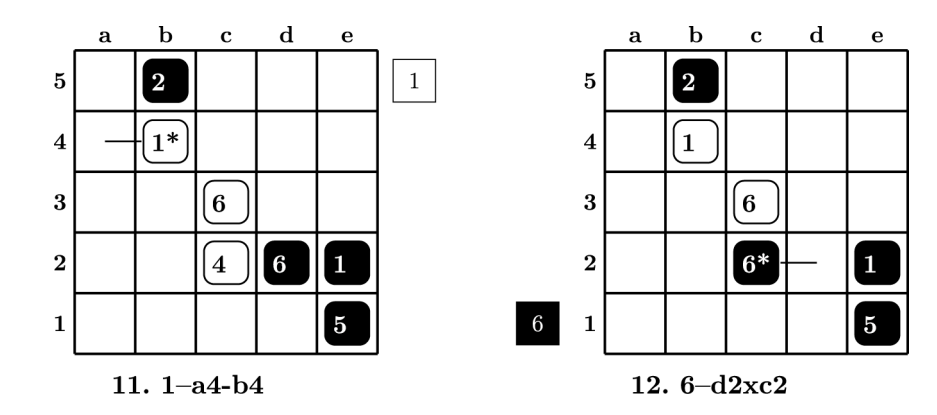
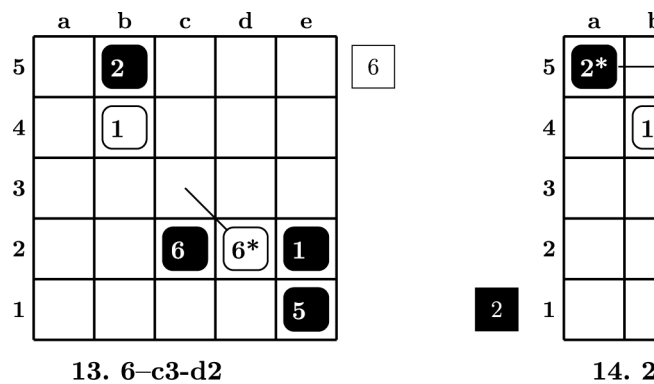


Abbildung 7.19



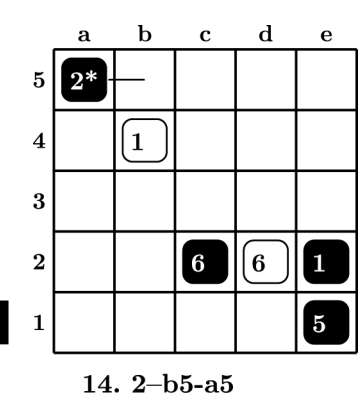


Abbildung 7.20

	a	b	\mathbf{c}	\mathbf{d}	\mathbf{e}	\mathbf{f}	
6	$oxed{\mathbf{W2}}$	$\boxed{\mathbf{W1}}$	W6	B6	B3	B4	6
5	$oxed{\mathbf{W4}}$	$\boxed{\mathbf{W3}}$			B1	B2	5
4	$oxed{\mathbf{W5}}$					B 5	4
3	R3					$\fbox{S2}$	3
2	R2	$oxed{\mathbf{R4}}$			$\fbox{S5}$	$\boxed{\mathbf{S3}}$	2
1	R1	R5	R6	S4	S1	S 6	1
	a	b	С	d	e	f	

Abbildung 7.21: Startstellung für die Vierer-Version von Ewn

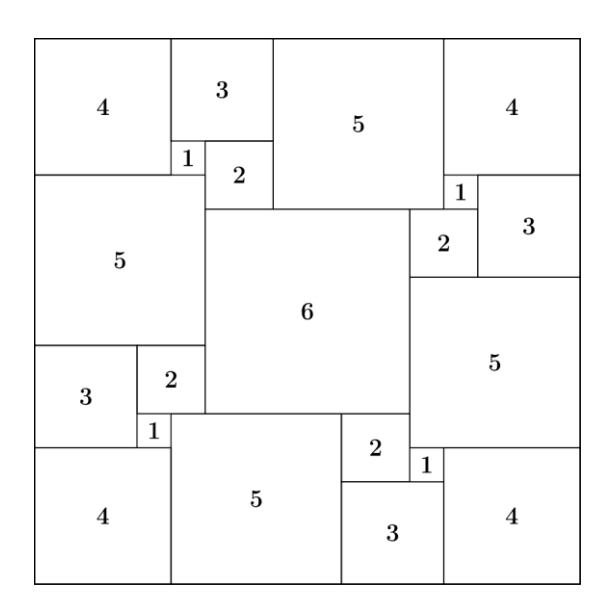


Abbildung 7.22: Die Zahlen in den kleinen Quadraten sind ihre Seitenlängen.

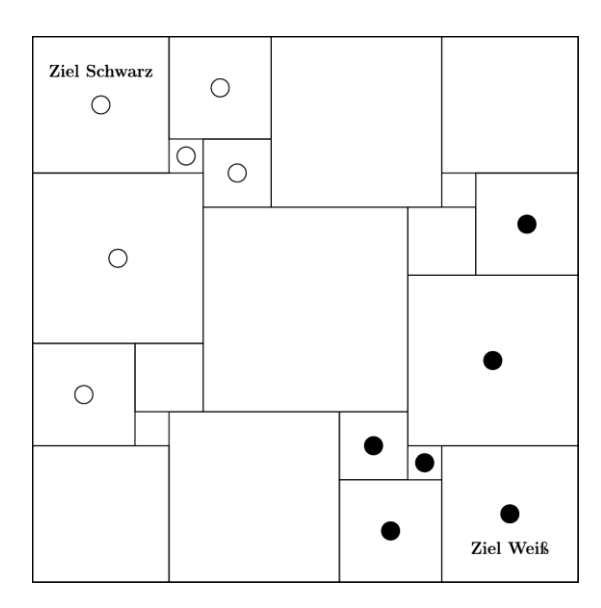


Abbildung 7.23: So sind die Felder zu Beginn mit sechs weißen und sechs schwarzen Steinen besetzt.

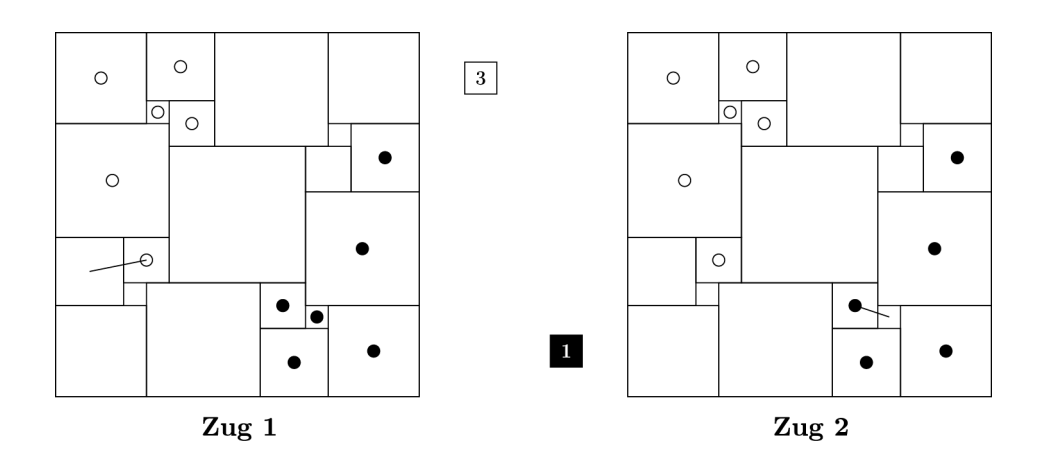


Abbildung 7.24

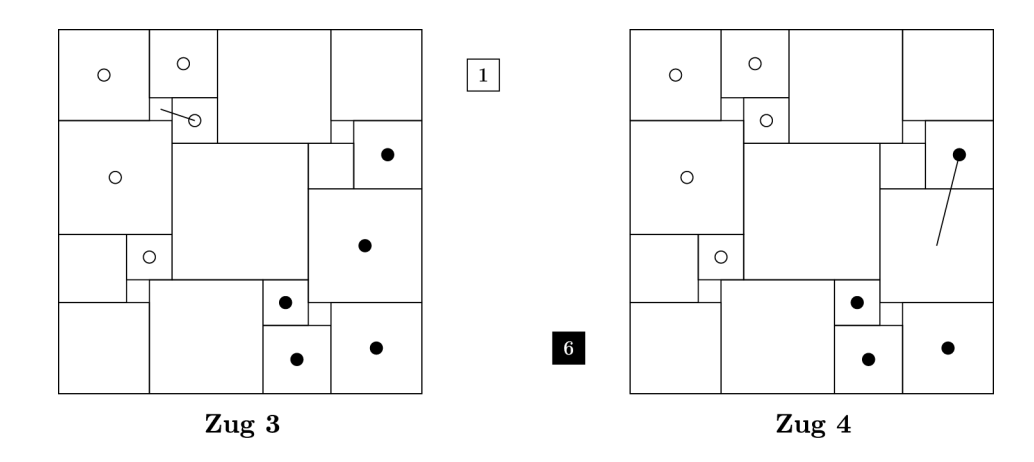


Abbildung 7.25

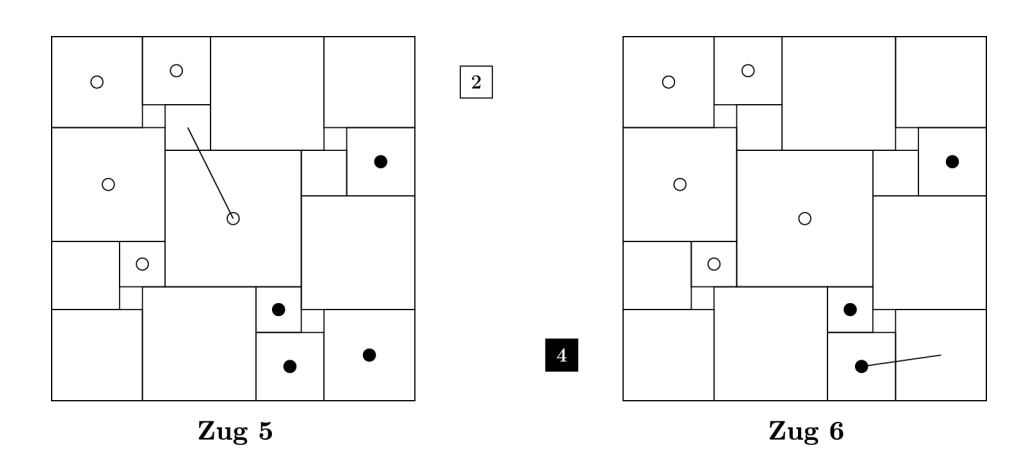


Abbildung 7.26

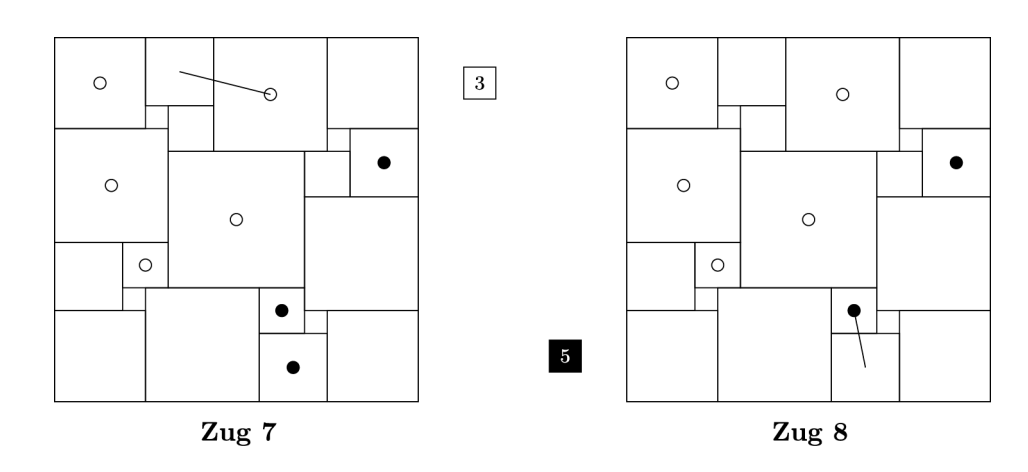


Abbildung 7.27

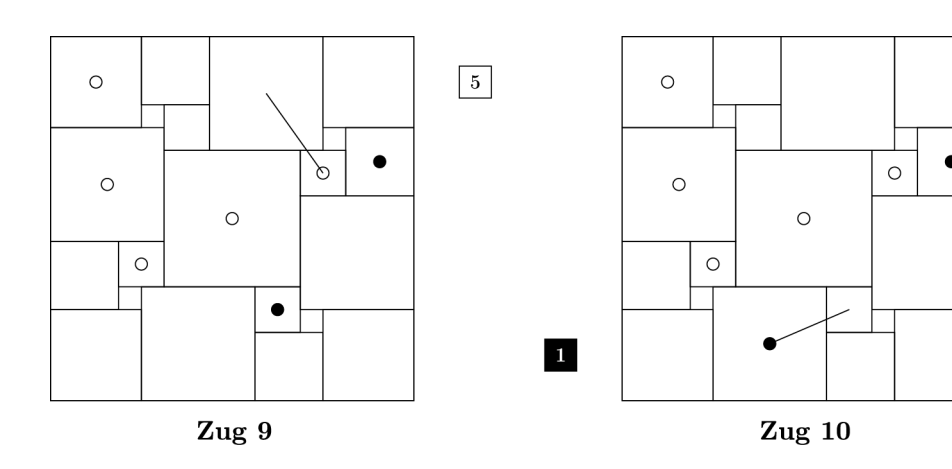


Abbildung 7.28

 $\overset{\text{de}}{G}$

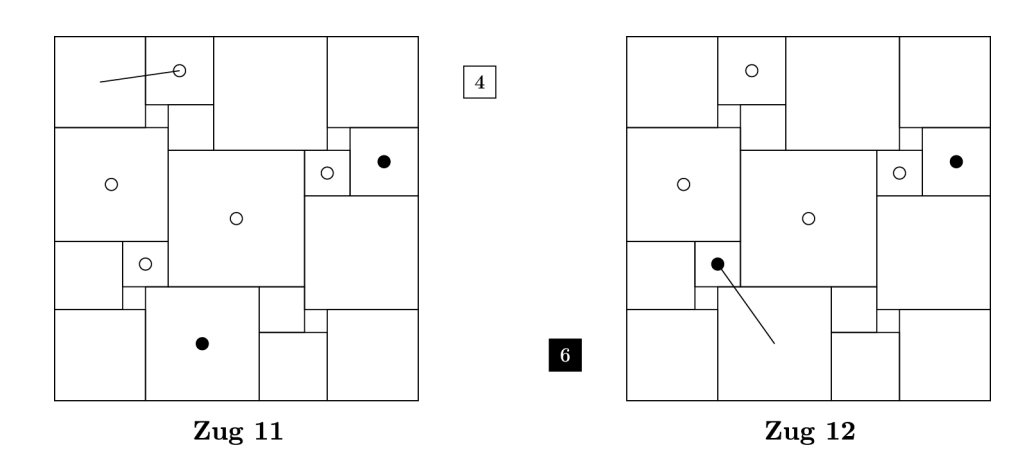


Abbildung 7.29

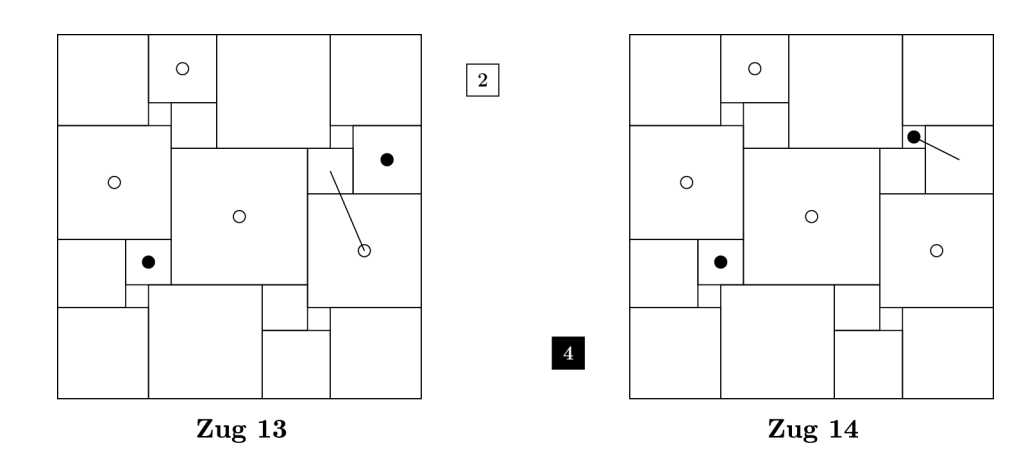


Abbildung 7.30

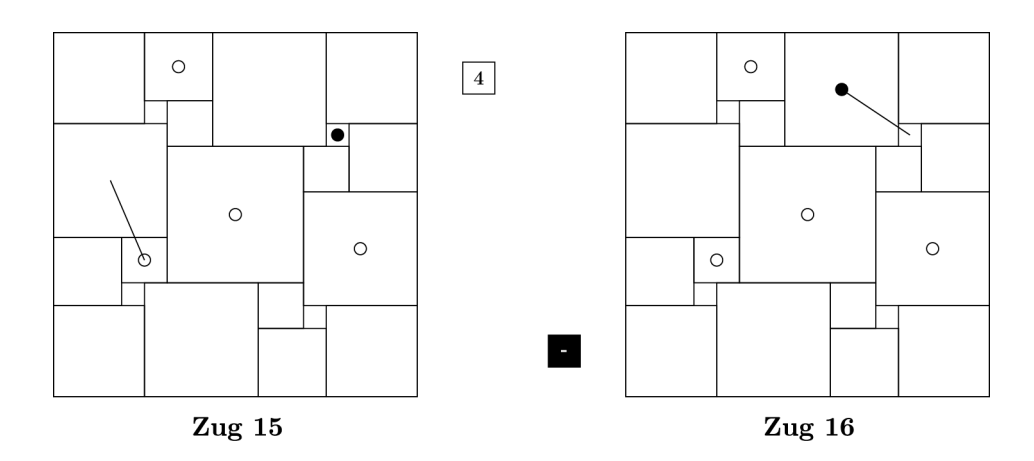


Abbildung 7.31

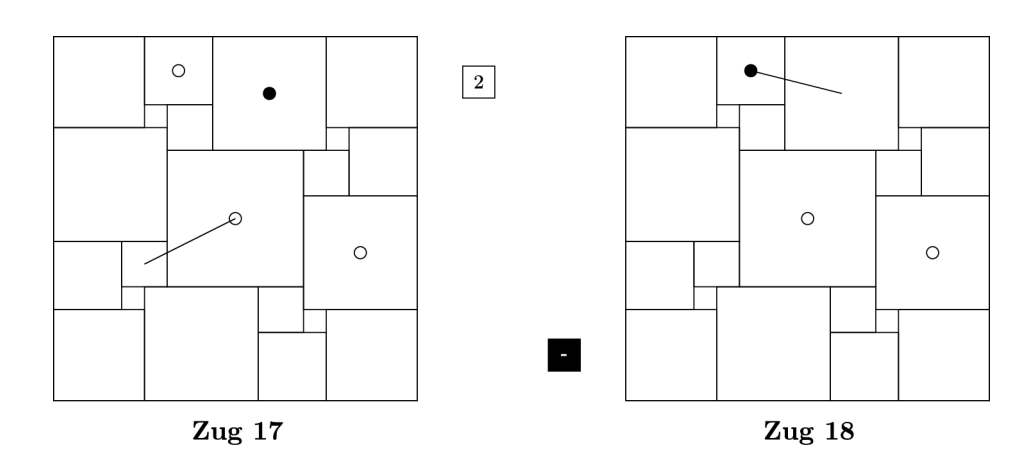


Abbildung 7.32

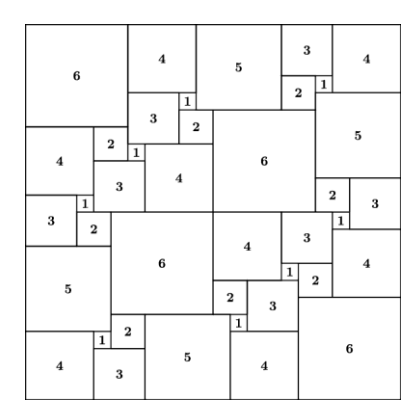


Abbildung 7.33: Karl Scherers alternierendes quadratisches Parkett mit Seitenlänge 22